

TARLACZ LÁSZLÓ
Távközlési Kutató Intézet

Üzemi paraméteres sávszűrő-tervezés

ETO 621.372.543.2.001.2

Az üzemi paraméteres szűrőméretezés ugyan több, mint 30 éves múltra tekinthet vissza, de igazában csak az utolsó évtizedben — a számítógépek térhódításával — vált általánossá. 1939-ben S. Darlington (és egy évvel később, tőle függetlenül H. Piloty [2]) oldotta meg először az általános szűrőszintézis feladatát. Nevezetes munkájában [1] csak aluláteresztő szűrőkkel foglalkozott. Azóta az üzemi paraméteres szűrőméretezés hatalmas, jól kidolgozott apparátussá vált, de az alap gondolat, sávszűrők esetén is, lényegében a darlingtoni maradt.

E cikk megírásakor szem előtt tartottuk, hogy — tudomásunk szerint — üzemi paraméteres sávszűrőméretezésről szóló általános leírás magyarul még nem jelent meg. Cikkünket tehát hézagpótlónak is szánjuk. Ez a körülmény eléggé megnehezíti dolgunkat. Valamiféle teljességre kell törekednünk, amit egyetlen cikk keretében csak úgy érhetünk el, ha egyrészt a tervezés azon fázisainál, ahol ez lehetséges, hivatkozunk a rendelkezésre álló magyar szakirodalomra, elsősorban [16]-ra, másrészt a tervezés fontos, de speciális vonatkozásait illetően a bőséges külföldi szakirodalomra utalunk. A [16]-ban egyébként az aluláteresztők üzemi paraméteres méretezése is megtalálható.

A következő fejezetben pontosabban körülhatároljuk szándékunkat, egyben rövid általános áttekintést adunk.

1. Célkitűzés, általános áttekintés

Olyan sávszűrők tervezésével foglalkozunk, amelyeknek csupán a csillapítására (tehát pl. nem a fázismenetére) van előírás a következőképpen: az áteresztő tartományban az üzemi csillapításnak — vagy a reflexiós tényezőnek — kisebbnek kell lennie egy állandó, előre megadott értéknél; a záró tartományban az üzemi csillapítás előírások tetszés szerint változhatnak. Ezeket a követelményeket olyan hagyományos, rendszerint cikcakk kapcsolású, szimmetrikus vagy antiszimmetrikus sávszűrővel fogjuk kielégíteni, amelynek csillapításmenete az áteresztő

tartományban egyenlő hullámosságú, a záró tartományban pedig a lehető legszorosabban simul a toleranciasémához. Mindezt az 1. ábra mutatja.

A szűrőszintézis folyamata

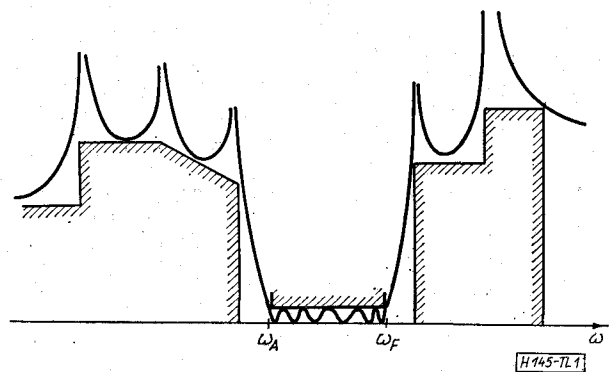
A teljes szűrőszintézis folyamatát 3 fő részre oszthatjuk:

1. A transzfer átviteli függvény megkonstruálása. Ez a Γ üzemi átviteli tényező, vagy a K karakterisztikus függvény valamelyike lehet.

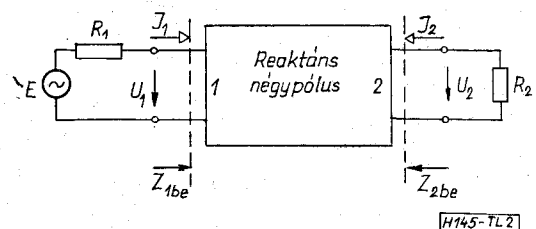
A $\Gamma(p)$ és az általunk használt $K(p)$ függvények definíciója a 2. ábra alapján a következő.

$$\Gamma(p) = \frac{1}{2} \frac{E}{U_2} \sqrt{\frac{R_2}{R_1}} \quad (1)$$

$$K(p) = r_1(p) \cdot \Gamma(p), \quad (2)$$



1. ábra



2. ábra

ahol $r_1(p)$ a primér oldali reflexiós tényező. A reflexiós tényezők definíciója:

$$r_i(p) = \frac{R_i - Z_{ibe}}{R_i + Z_{ibe}} \quad (i=1,2) \quad (3)$$

Z_{1be} és Z_{2be} a primér ill. szekunder oldali bemenő impedancia.

Reaktáns négpólusra fennáll az

$$|r_1(p)| = |r_2(p)| \quad (3a)$$

egyenlőség.

Megjegyezzük, hogy $K(p)$ definíciója bizonyos mértékig tetszőleges. $K = r_2 \cdot \Gamma$ is lehetne. Nálunk

$$r_2(p) \cdot \Gamma(p) = K(-p). \quad (4)$$

Ha — mint esetünkben is — csak a csillapításmenet érdekes számunkra, akkor K approximációja a könnyebb. Ha K és Γ közül bármelyik is ismert, a másik a Feldtkeller-egyenlőségből adódik. A Feldtkeller-egyenlőség:

$$|\Gamma(j\omega)|^2 = 1 + |K(j\omega)|^2, \quad (5a)$$

vagy

$$\Gamma(p) \cdot \Gamma(-p) = 1 + K(p) \cdot K(-p). \quad (5b)$$

K és Γ számításánál figyelembe kell venni a rájuk vonatkozó realizálhatósági feltételeket. Ezek a következők:

a) K és Γ legyen p -nek valós és racionális függvénye,

b) K és Γ nevezője p -nek tiszta páros vagy tiszta páratlan polinomja legyen,

c) Γ számlálójának gyökei a balfél síkban legyenek (Γ számlálója Hurwitz polinom),

d) $|\Gamma(j\omega)| \geq 1$ legyen,

e) Γ számlálójának fokszáma nem lehet kisebb nevezőjének fokszámánál.

Ezek a feltételek bármilyen szűrőre érvényesek. Sávszűrők esetén az e) pont helyett konkrétan fogalmazhatunk:

e*) K és Γ számlálójának legalább eggyel magasabb fokszámúnak kell lenni nevezőjüknél, a nevezőnek pedig p -vel oszthatónak kell lennie.

2. Az elemértékek kiszámításához szükséges impedanciák meghatározása. Itt rendszerint a rövidzárási és üresjárású impedanciák jönnek számításba. A megfelelő formulák:

$$Z_{1r} = R_1 \frac{\Gamma_{pn} - K_{ps}}{\Gamma_{ps} + K_{ps}} \quad (6a)$$

$$Z_{1ü} = R_1 \frac{\Gamma_{ps} - K_{ps}}{\Gamma_{pn} + K_{ps}} \quad (6b)$$

$$Z_{2r} = R_2 \frac{\Gamma_{pn} - K_{ps}}{\Gamma_{ps} - K_{ps}} \quad (6c)$$

$$Z_{2ü} = R_2 \frac{\Gamma_{ps} + K_{ps}}{\Gamma_{pn} + K_{ps}} \quad (6d)$$

ahol a ps index páros részt, pn index páratlan részt jelöl.

3. Az elemértékek kiszámítása. Ez a szokásos létrakapcsolás esetén zéruseltolással történhet [16] a rövidzárási vagy üresjárású impedanciák valamelyikéből. Bizonyítható ugyanis, hogy egyetlen impedancia a (6) alatt felsoroltak közül, feltéve, ha fokszáma nem kisebb a szűrő fokszámánál, a csillapításpólusokkal együtt az elemértékeket egyértelműen meghatározza.

A gyakorlatban az elemek lefejtésénél sokszor két oldalról, két impedanciából indulnak ki. Így a találkozásakor, a középső elemre kiadódó két érték összehasonlítása egyúttal jó lehetőséget nyújt a számolási pontosság regisztrálására.

Tekintsünk most végig a szintézis előbb vázolt folyamatán.

Teljes alaposítással foglalkozunk majd $K(p)$ approximációjával a 3. fejezetben. Az 1. pontban leírtuk, hogyan lehet $K(p)$ ismeretében $\Gamma(p)$ -t kiszámítani. A számításnak ez a része gyakorlatilag igen fontos, hiszen itt kell magasfokú algebrai egyenletet igen nagy pontossággal megoldanunk ahhoz, hogy a $\Gamma(p) \cdot I(-p)$ szorzatból ki tudjuk választani a Hurwitz polinom számlálójú $\Gamma(p)$ -részt. Ide kapcsolódik a nevezetes pontossági probléma, amelynek megoldatlansága komoly szűrők tervezését csaknem lehetlenné tette. Jó megoldás már csaknem egy évtizede létezik, erről e fejezetben röviden még szólnunk. Elvileg azonban $\Gamma(p)$ $K(p)$ -ből való kiszámításáról többet nem is lehet mondani.

A 2. pontban leírtakhoz sincs — úgy tűnik — különösebb hozzátenni való.

Magával a lefejtéssel sem fogunk foglalkozni, hiszen annak technikája jól ismert [16].

A 4. fejezetben viszonylag részletesen tárgyaljuk a szűrő felépítésének a kijelölését. A feladatunk itt az, hogy megkeressük azt a struktúrát, amely a lehető legkevesebb elemszámmal, főképp tekercsszámmal realizálja a már meglevő K , ill. Γ függvényt.

Végül az 5. fejezetben egy példát közlünk, amelyben elejétől végig megtervezünk egy egyszerűbb sáv-szűrőt.

Két fontos téma van még, amelyekkel cikkünkben nem foglalkozunk részletesen, ezek az alábbiak.

A számolási pontosság problémája

Tudvalevő, hogy az üzemi paraméteres méretezés folyamán sok értékes számjegy kiesik, így előfordulhat, hogy mire az elemértékekig eljutunk, egyetlen értékes számjegy sem marad. Közepes szigorúságú sáv-szűrők esetén azt a durva ökölszabályt állíthatjuk fel, hogy ahányad fokú a szűrő, annyi számjegy pontossággal kell a méretezést végeznünk ahhoz, hogy az elemértékeket legalább 1‰ pontosságai megkapjuk. Ez a számítógépek 8–9 számjegynyi pontosságát figyelembe véve maximum 8–9-ed fokú szűrőt jelent; szigorú, meredek levágású szűrők esetén ennél is kevesebbet. Látható, hogy a dupla pontosságú aritmetika sem oldja meg a problémát, legfeljebb 12–14-ed fokig kitolja.

A probléma gyökere ott van, hogy szigorú, nagy fokszámú szűrőknél a számításban szereplő polino-

mok (főleg $K(p), K(p) \cdot K(-p), I(p) \cdot I(-p), I(p)$ szám-
lái) gyökei igen közel esnek egymáshoz. Ezek a
gyökök különösen a határfrekvenciák közelében sű-
rűsödnek össze. A szűrő viselkedése szempontjából
ezeknek a gyököknek meghatározó szerepük van.
Viszont hagyományos számítástechnika esetén a poli-
nomokat együtthatóikkal szoktuk jellemezni. Már-
pedig tény, hogy egymáshoz közeli gyökök esetén
egy polinom együtthatói a gyököket közel sem ha-
tározzák meg akkora relatív pontossággal, mint ami-
lyen pontosak maguk az együtthatók. Pl. az
 $x^2 - 2x + 0,999\ 999\ 99$ polinom gyökei $x_1 = 0,999\ 88$ és
 $x_2 = 1,000\ 12$, de $x_1 = 0,999\ 92$ és $x_2 = 1,000\ 08$ is
lehetnek. Látjuk, hogy a gyököket csak 4 számjegyre
pontosan határozzák meg a 8 számjegyre pontos
együtthatók.

Ennek a kínzó problémának a megoldására két
módszer született. Érdekes, hogy a második módszer
egészen a legutóbbi időben bukkant fel.

Az első módszer, amelyet a hatvanas évek első
felében szinte egyöntetűen dolgoztak ki a világ leg-
különbözőbb részein [4, 5, 6, 7, 8, 9], a transzformált
frekvenciában való számolás módszere. p helyett
alkalmas, új változó bevezetésével elérték, hogy az
eddig egymáshoz igen közel eső gyökök az új, transz-
formált frekvencia-skálán szétszóródtak, messzebb
kerültek egymástól. Ezáltal a hagyományos polinom-
kezelési technika visszanyerte jogait.

Legtöbbször már az is eredményt ad, ha a számí-
tásokat csupán $K(p)$ -ből $I(p)$ kiszámításáig bezárólag
végezzük transzformált frekvencián. Célszerűbb azon-
ban az egész számítást, egészen az elemértékek kiszá-
mításáig transzformált frekvencián végezni. Ez a
feladat természetesen egy gyakorlatilag teljesen új
számítási apparátus kidolgozását igényelte. Ennek az
apparátusnak talán legteljesebb leírása [6] és [7]-ben
található.

E témáról még annyit, hogy a transzformált frek-
vencia lehet ugyanaz, mint ami cikkünkben is sze-
relni fog [$\Phi(13)$ szerint], de gyakran használják a

$$\Phi^2 = \frac{p^2 + a^2}{p^2 + 1} \quad (7)$$

alakú (esetleg ennek reciproka) transzformációt is
[6, 7, 19]. Ez utóbbinak előnye, hogy $a=0$ esetén
aluláteresztő méretezésére is alkalmas.

A második módszer az ún. szorzat-módszer [11,
12]. Ez a módszer nem használ transzformált változót.
Megmarad a p komplex frekvenciánál. A számjegy-
kiesés problémáját pedig úgy oldja meg, hogy nem
polinom együtthatókkal dolgozik. Egy polinom
mindig gyöktényező alakjában van megadva. Innen
a módszer neve is. S igen szellemes — bár még elekt-
ronikus számítógéppel is hosszan tartó — matema-
tikai algoritmust használ annak érdekében, hogy két
szorzat alakban megadott polinomot ne csak össze-
szorozni, hanem összeadni és kivonni is lehessen.

A két módszert összevetve általában egyformán
hatásosnak ítélik őket [13, 14]. 25–30-ra becsülik
annak a szűrőnek a foksámát, ami még tervezhető
velük. A szorzat-módszer elvileg sokkal egyszerűbb.
Könnyebb programot csinálni rá, viszont a gépi
számolási ideje hosszabb, mint egy transzformált
frekvencián dolgozó programé.

Jelen cikkben megmaradunk a p -síkon való számó-
lás mellett. A szorzat-módszer részletes ismertetésére
azonban nem térünk ki.

Veszteségkompenzálás

Már Darlington megadott egy elegáns módszert
erre, amely általánosan ismertté vált és sokhelyütt
megtalálható [1, 3, 16, 18]. Ez az eljárás azonos,
vagy felerészben azonos veszteségű elemek esetére
vonatkozik.

Viszonylag egyszerű és igen szellemes módszert
adott meg Orchard és Temes [6] alatti dolgozatában
arra az esetre is, amikor mindegyik elem veszteségi
tényezője más és más.

A darlingtoni alap gondolat

Darlington, a már idézett művében módszerét
referens hullámszűrők módszerének nevezte. Ez ért-
hető, hiszen a hullámparaméterek világából vette
kölcson a karakterisztikus függvényt, s ez a körül-
mény további analógiákat hozott magával.

Darlington nagyszerű gondolata ugyanis az volt,
hogy az üzemi paraméteres szűrő karakterisztikus
függvénye legyen

$$K = \pm e \operatorname{sh} g_0 \quad (8a)$$

vagy

$$K = \pm \varepsilon \operatorname{ch} g_0 \quad (8b)$$

alakú, ahol g_0 egy képzeletbeli — referensnek elne-
vezett — hullámszűrő hullámátviteli mértéke. Ekkor
ugyanis egyszerűen biztosítható az áteresztő tarto-
mánybeli egyenlő hullámosság követelménye, hiszen
ott $g_0 = j b_0$ lévén

$$a_{AT} \equiv \frac{1}{2} \operatorname{lb} [1 + |K|^2] = \frac{1}{2} \ln (1 + e^2 \sin^2 b_0) \quad (9a)$$

illetőleg

$$[a_{AT} = \frac{1}{2} \ln (1 + \varepsilon^2 \cos^2 b_0) \quad (9b)$$

adódik. Ebből — a trigonometrikus függvények sa-
játosságai folytán — rögtön látható, hogy a csilla-
pítás egyenlő hullámosságú. A záró tartományban
pedig $g_0 = a_0 + jk \frac{\pi}{2}$ ($k = 1, 3, 5 \dots$ vagy $k = 2, 4,$
 $6 \dots$) miatt az

$$a_{ZT} = \frac{1}{2} \ln (1 + e^2 \operatorname{ch}^2 a_0) \cong a_0 - \ln \frac{1}{\varepsilon} - \ln 2 \quad (10)$$

összefüggés egyszerű kapcsolatot teremt a_0 és a
között. A kívánt a üzemi csillapítás biztosítása tehát
egyet jelent a referens hullámszűrő (10)-ből számí-
tott, a_0 értékű hullámcsillapításának biztosításával,
amelyre jól kidolgozott módszerek vannak a hullám-
paraméteres szűrőelméletben.

Az üzemi paraméteres méretezésről szóló újabb
cikkekben, a hullámparaméteres szűrőméretezés ál-

talános háttérbe szorulásának megfelelően, a referens hullámszűrőkre való utalás is egyre ritkább lett, sőt végleg el is tűnt. A tervezési eljárást valóban nem nehéz önmagában állóan leírni úgy, hogy a hullámparamétereiről említés se essék.

Mi, cikkünkben mégsem titkoljuk el a méretezés származását. Meg akarjuk egyrészt mutatni, hogy a darlingtoni alapötlet milyen termékenynek bizonyul sávszűrők esetében is; hogy milyen természetesen adódik belőle az az eljárás, amelyet — elvi lényegét tekintve — az üzemi paraméteres sávszűrők karakterisztikus függvényének meghatározására mindenütt használnak. Másrészt azért tesszük ezt, hogy azok számára, akik a hullámparaméteres sávszűrő-méretezésben már járatosak, hivatkozni tudjunk az ott szerzett ismeretekre, valamint a hullámparaméteres sávszűrőtervezést leíró két régebbi cikkünkre [20, 21].

Mindamellettt arra törekszünk, hogy magát a tervezési eljárást azok is követni tudják, akik a hullámparaméteres világgal nem kívánnak megismerkedni.

2. Az eredő diagonálviszony

A karakterisztikus függvény (8) alapján való meghatározásához ismernünk kell egy hullámszűrő paraméterei és g_0 hullámátviteli mértéke közötti kapcsolatot. Ebben a fejezetben egy hullámszűrő $th\ g_0$ -jának a relatív sávzélességre jellemző β tényezővel és a modulusaival való kifejezését fogjuk levezetni.

Talán nem felesleges megjegyeznünk, hogy a céljainknak megfelelő referens hullámszűrő csak eleve sávszűrőnek méretezett szűrő lehet. Olyan sávszűrő, amelyet aluláteresztőből a szokásos frekvenciatranszformációval származtatnánk, a záró tartományban sohasem adna az 1. ábrán mutatott, általános csillapításmenetet.

A hullámparaméteres elméletből [16, 17, 20, 21] tudjuk, hogy egy hullámszűrőt illesztett L -tagokból lehet összerakni. Egy sávszűrő L -tagnak 1 vagy 2 hullámcsillapításpólusa van, amely határesetben 0 vagy ∞ frekvenciára is eshet. Eképpen egy sávszűrő L -tag fő jellemzője a csillapításpólusa (vagy pólusai), illetőleg az ennek megfelelő modulusok: m_1 vagy m_2 , vagy m_1 és m_2 is.

Az is ismeretes [20, 21], hogy egy L -tag diagonálviszonya

$$Q = m_2 \Phi \quad (1a \text{ típus}) \quad (11a)$$

vagy

$$Q = \frac{1}{m_1 \Phi} \quad (1b \text{ típus}) \quad (11b)$$

alakú, illetőleg kétpólusú L -tag esetén a fenti két diagonálviszony

$$Q = \frac{Q_1 + Q_2}{1 + Q_1 Q_2} \quad (12)$$

szerinti eredője.

$$\Phi = \sqrt{\frac{\beta^2 + p^2}{1 + \beta^2 p^2}} \quad (13)$$

transzformált frekvencia, amelyben szereplő β pedig

$$\beta = \omega_F = \frac{1}{\omega_A} \quad (14)$$

szerint a sávzélességre jellemző tényező. ω_F és ω_A a két elméleti határfrekvencia relatív értékét jelenti akkor, ha a frekvenciaegységet ezen két frekvencia valóságos értékének mértaniközepére vesszük fel.

A Q diagonálviszony és a g_0 hullámátviteli mérték között a

$$Q = th\ g_0 \quad (15)$$

összefüggés teremt kapcsolatot. Tudjuk továbbá, hogy ha az egyes L -tagok hullámillesztéssel kapcsolódnak egymáshoz, akkor a hullámszűrő eredő hullámátviteli mértéke az egyes tagok hullámátviteli mértékeinek algebrai összege. Ezt a tényt (15) alapján diagonálviszonyban fogalmazva kapjuk a

$$Q_{\text{eredő}} = \frac{Q_{1,2,\dots,n} + Q_{1,2,\dots,n}^{(3)} + Q_{1,2,\dots,n}^{(5)} + \dots}{1 + Q_{1,2,\dots,n}^{(2)} + Q_{1,2,\dots,n}^{(4)} + \dots} \quad (16)$$

összefüggést. A képletben az elemi szimmetrikus formák [16, 17] tömör jelölismódját használtuk.

Ha valamennyi Q helyébe $Q_i = m_i \Phi$ -t íránk, akkor ez a képlet n számú pólus esetén a következő alakot ölténé:

$$Q_{\text{eredő}} = \frac{m_{1,2,\dots,n} \Phi + m_{1,2,\dots,n}^{(3)} \Phi^3 + \dots}{1 + m_{1,2,\dots,n}^{(2)} \Phi^2 + m_{1,2,\dots,n}^{(4)} \Phi^4 + \dots} \quad (17)$$

Sávszűrők esetén azonban látszólag nem ez a helyzet. Hiszen az egyes tagok diagonálviszonyai között (11a) és (11b) alakúak egyaránt szerepelnek. Be fogjuk bizonyítani, hogy az eredő Q meghatározása szempontjából mégsem kell különbséget tenni az egyes modulusok közt aszerint, hogy az alsó vagy a felső záró tartományban levő csillapításpólusokhoz tartoznak-e.

Majd látni fogjuk, hogy ahhoz, hogy megengedett $K(p)$ függvényt kapjunk, véges frekvencián levő pólusokat csak párosával vehetünk fel. Ez a körülmény igen kedvező a mi szempontunkból. Hiszen két $1b$ típusú tagot kaskádba kapcsolva az eredő diagonálviszony (12) vagy (16) alapján

$$Q = \frac{\frac{1}{m_a \Phi} + \frac{1}{m_b \Phi}}{1 + \frac{1}{m_a m_b \Phi^2}} = \frac{(m_a + m_b) \Phi}{1 + m_a m_b \Phi^2} \quad (18)$$

lesz, ami ugyanolyan jellegű, mintha két $1a$ típusú tagot kapcsolunk volna össze. Vagyis az $1b$ típusú tagokat is úgy tekinthetjük, mintha $m_i \Phi$ járulékkal vennének részt az eredő diagonálviszony létrehozásában. Az elmondottak alapján az is természetes, hogy a zérus frekvencián levő pólusok nem rontják a (17) egyenlőség érvényességét, mert egy-egy ilyen tag diagonálviszonya $m \Phi$ alakú, ahol $m = \beta^{-1}$. Érvényes marad a (17) egyenlőség akkor is, ha végtelen frekvencián páros számú csillapításpólus van. Gondoljunk a (18) egyenlőség kapcsán mondottakra.) Kicsit módosul viszont a helyzet akkor, ha végte-

len frekvencián páratlan számú csillapításpólusunk van.

Vizsgáljuk meg ezt az utolsó esetet. Foglaljuk egy csoportba az összes véges frekvencián levő pólust (ezek csak párosan szerepelhetnek), az összes 0 frekvencián levő pólust, és a végtelen frekvencián levő pólusok közül azokat, amelyek párt alkothatnak. Ekkor 1 végtelen frekvencián levő pólus marad. Az előző nagy csoportra vonatkozóan bebizonyítottuk, hogy eredő diagonálviszonya (17)-ből számítható. Azaz az $(n-1)$ számú tagra vonatkozóan:

$$Q_{1e} = \frac{m_{1,2} \dots (n-1) \Phi + m_{1,2} \dots (n-1) \Phi^3 + \dots}{1 + m_{1,2}^{(2)} \dots (n-1) \Phi^2 + \dots} \quad (19)$$

Az utolsó, n -ik tag diagonálviszonya

$$Q_n = \frac{1}{m_n \Phi} \quad (20)$$

alakban írható, ahol $m_n = \beta$. Kapcsoljuk most hozzá ezt az utolsó tagot az előző nagy csoporthoz. Ekkor az összegzési képletet felhasználva az egész hullámszűrő eredő diagonálviszonya

$$Q_e = \frac{Q_{1e} + Q_n}{1 + Q_{1e} Q_n} \quad (21)$$

lesz. Ebbe (19) és (20)-at behelyettesítve rövid számolás után a következőt kapjuk:

$$Q_e = \frac{1 + m_{1,2}^{(2)} \dots n \Phi^2 + m_{1,2}^{(4)} \dots n \Phi^4 + \dots}{m_{1,2} \dots n \Phi + m_{1,2}^{(3)} \dots n \Phi^3 + \dots} \quad (22)$$

Vegyük észre, hogy a kapott végeredmény pontosan (17) reciprokával egyenlő.

Összefoglalva megállapíthatjuk, hogy ha a referens hullámszűrőnek összesen n számú pólusa van, akkor eredő diagonálviszonya

$$Q = \left[\frac{m_{1,2} \dots n \Phi + m_{1,2}^{(3)} \dots n \Phi^3 + \dots}{1 + m_{1,2}^{(2)} \dots n \Phi^2 + m_{1,2}^{(4)} \dots n \Phi^4 + \dots} \right]^{\pm 1} \quad (23)$$

alakba írható, ahol akkor veendő a negatív előjelű kitevő, ha a végtelen frekvencián levő pólusok száma páratlan.

(23)-at még más alakban is felírhatjuk. Az algebrából tudjuk, hogy egy

$$T_n(\Phi) = (1 + m_1 \Phi)(1 + m_2 \Phi) \dots (1 + m_n \Phi) \quad (24)$$

alakú szorzatot polinom alakba írva, az együtthatókat éppen az m_i -k elemi szimmetrikus formái adják:

$$T_n = 1 + m_{1,2}^{(1)} \Phi + m_{1,2}^{(2)} \Phi^2 + \dots + m_{1,2}^{(n)} \Phi^n \quad (25)$$

Ekkor viszont (23) még a következő, rendkívül tömör alakba is írható:

$$Q = \text{tg } g_0 = \left(\frac{P_n[T_n]}{P_s[T_n]} \right)^{\pm 1} \quad (26)$$

A $P_n[\]$, ill. $P_s[\]$ szimbólum a zárójelbe írt kifejezés páratlan, ill. páros részét jelenti. A kitevő előjelére ugyanaz érvényes, mint fentebb írtuk: ha végtelen frekvencián páratlan számú hullámszűrőpólus van, negatív, egyébként pozitív. Még egyszer leszögezzük, hogy T_n -ben az összes csillapításpólushoz tartozó modulus szerepel, bárhová is esznek azok.

3. A karakterisztikus függvény kiszámítása

A karakterisztikus függvény meghatározásának módszerét ismertetjük levezetésekkel, bizonyításokkal együtt. A sorrendet azonban úgy választjuk meg, ahogyan a lépések konkrét sávszűrőméretezés esetén is követik egymást.

1. Válasszuk a szűrő (gyakorlati) áteresztő tartományának mértani közepét frekvenciaegységnek. Ekkor a felső határfrekvencia normált értéke lesz a sávzélességre jellemző β tényező ($\beta = \omega_F$). β alapvető paraméter.

2. Az áteresztő tartománybeli előírásokból meghatározzuk ε értékét, az alábbi két egyenlet (27), (28) valamelyikéből. (9)-ből látható, hogy az áteresztő tartományban fellépő maximális csillapítás:

$$a_{AT \max} = \frac{1}{2} \ln(1 + \varepsilon^2); \quad (27)$$

ha pedig ugyanezt a minimális reflexiós csillapítással fejezzük ki:

$$a_{r \min} = \frac{1}{2} \ln \left(1 + \frac{1}{\varepsilon^2} \right) \cong \ln \frac{1}{\varepsilon} \quad (28)$$

A reflexiós csillapítás és a (2), (3), (4)-ben szereplő reflexiós tényező közötti kapcsolat:

$$a_r = \ln \frac{1}{|r_1|} = \ln \frac{1}{|r_2|} \quad (29)$$

Az 1. táblázatban néhány összetartozó $r = |r_1| = |r_2|$, a_r , a_{AT} és ε értéket adtunk meg.

ε helyes felvételével az áteresztő tartománybeli előírások teljesítését máris biztosítottuk.

1. táblázat

r %	1	1,5	2	3	4	5	7	10	15	20	30	50
a_r/N	4,61	4,20	3,91	3,51	3,22	3,00	2,66	2,30	1,90	1,61	1,20	0,69
a/cN	0,005	0,01	0,02	0,045	0,08	0,13	0,25	0,5	1,1	2,0	4,7	14,4
ε	0,010	0,015	0,020	0,030	0,040	0,050	0,070	0,101	0,152	0,204	0,315	0,577

3. A záró tartományban megadott toleranciasémából (1. ábra) kiindulva a (10) összefüggés alapján megszerkeszthetjük az a_0 -ra vonatkozó toleranciasémát. Ez utóbbi séma gyakorlatilag az előbbinek önmagával párhuzamos, ($a_{r,\min} + 0,7$) Neper értékű felfelé tolásával jön létre.

Ezt a toleranciasémát nemcsak az ω tartomány fölé rajzolhatjuk fel, hanem a

$$\gamma = \ln \Phi = \ln \sqrt{\frac{\beta^2 - \omega^2}{1 - \beta^2 \omega^2}} \quad (30)$$

tartomány fölé is.

Ezután mindenegyes, γ -tartományban felvett, $\gamma = \mu_i$ helyre eső csillapításpólus

$$a_{0i} = \frac{1}{2} \ln \operatorname{cth} \frac{|\mu_i - \gamma|}{2} \quad (31)$$

értékkel járul hozzá az egész a_0 értékhez. Tehát n pólus esetén

$$a_0 = \sum_{i=1}^n a_{0i} = \sum_{i=1}^n \frac{1}{2} \ln \operatorname{cth} \frac{|\mu_i - \gamma|}{2} \quad (32)$$

Nem kell tehát mást tennünk, mint — az alább megadásra kerülő szabályok megtartása mellett — megfelelő helyekre annyi pólust felvennünk, hogy a (32) szerinti a_0 csillapításérték minden frekvencián nagyobb legyen a toleranciaséma által előírt értéknel.

Egy $\gamma = \mu_i$ helyen levő pólushoz $m_i = e^{-\mu_i}$ modulus tartozik, a 0 és végtelen frekvencián fekvő pólushoz tartozó modulus pedig β^{-1} , ill. β . A pólusok felvétele után tehát egy moduluskészlet áll rendelkezésünkre.

Bizonyára kitűnt már, hogy ez az eljárás azonos a hullámparaméteres méretezésnél használatos Rumpelt-sablon eljárással, érvényessége is onnan vezethető le [21].

Az olvasó bizonyára régen észrevette azt is, hogy cikkünkben egész póluson olyan fogalmat értünk, amit igen gyakran „félpólus” elnevezéssel illetnek. A mi terminológiánkban 1 pólushoz egyszeres multiplicitás is tartozik, azaz — a $I(p)$ és $K(p)$ függvényben — p -ben egy elsőfokú tényező. Ilyenképpen sávszűrőnk fokszáma mindig éppen annyi, mint ahány pólusunk van összesen. A végtelen frekvencián levő pólusokhoz tartozó multiplicitás a nevező

fokszám-hiányában, vagyis a számláló és a nevező fokszámának különbségében jelentkezik.

Az 1. fejezetben közöltük a $K(p)$ karakterisztikus függvényre vonatkozó realizálhatósági feltételeket. Könnyű bizonyítani, hogy ahhoz, hogy ezek a feltételek teljesüljenek, a póluselrendezésnél a következő szabályokat kell megtartani:

A) Véges frekvencián pólust csak páronként meg egyező frekvenciákra vehetünk fel (b) feltétel).

B) Feltétlenül fel kell venni legalább egy-egy pólust zérus és végtelen frekvenciákra. Ezen frekvenciáknak a γ -skálán $\gamma = \ln \beta$, ill. $-\ln \beta$ felel meg (ϵ^* feltétel).

C) A 0 és végtelen frekvenciákra felvett pólusok számának paritása azonos legyen (a) feltétel).

Ez utóbbi, C) megszorítás kifejezetten ehhez a méretezési eljáráshoz kötődik. Más méretezési mód esetén a zérus és a végtelen frekvencián levő üzemi csillapítás pólusok multiplicitása teljesen független lehet egymástól. Hasonlóképpen: e módszer jellemzője az is, hogy $K(p)$ csak tiszta páratlan, vagy tiszta páros lehet. Vagyis csak szimmetrikus vagy antiszimmetrikus szűrők tervezhetők ezen az úton. Igen érdekes következmény, hogy páratlan fokszámú sávszűrő ezzel a módszerrel nem is tervezhető. Arról a speciális sajátságról pedig, hogy $K(p)$ összes zérusa $j\omega$ tengelyre esik, és ennek következményéről, a 4. fejezetben lesz még szó.

4. A póluselrendezés — amellyel a szűrő záró-tartományában is teljesítettük az előírásokat — egyúttal eldönti azt is, hogy a karakterisztikus függvény (8a) és (8b) közül melyik legyen.

Ha a 0 és végtelen frekvenciákra páratlan számú csillapítás pólust vettünk fel, akkor (8a), ellenkező esetben (8b) adja a helyes karakterisztikus függvényt. Az első esetben a szűrő szimmetrikus, a másodikban antiszimmetrikus lesz. (26)-ot is ennek megfelelően első esetben -1 , második esetben $+1$ kitevővel kell venni.

5. Határozzuk meg végül a konkrét $K(p)$ karakterisztikus függvényt.

Az előzők alapján szimmetrikus esetben

$$K_{szim} = \pm \epsilon \operatorname{sh} g_0 = \pm \epsilon \frac{\operatorname{th} g_0}{\sqrt{1 - \operatorname{th}^2 g_0}} = \pm \epsilon \frac{P_s[T]}{P_n[T]} = \pm j \epsilon \frac{P_s[T]}{\sqrt{P_s^2[T] - P_n^2[T]}} \quad (33a)$$

antiszimmetrikus esetben

$$K_{antim} = \pm \epsilon \operatorname{ch} g_0 = \pm \epsilon \frac{1}{\sqrt{1 - \operatorname{th}^2 g_0}} = \pm \epsilon \frac{1}{\sqrt{1 - \frac{P_n^2[T]}{P_s^2[T]}}} = \pm \epsilon \frac{P_s[T]}{\sqrt{P_s^2[T] - P_n^2[T]}} \quad (33b)$$

Figyelemre méltó, hogy itt már alig van eltérés a kétféle karakterisztikus függvény között.

$T = T_n = T_n(\Phi)$ -t a (24) és (25) egyenlőséggel definiáltuk.

A $P_s [T]$ és $P_n [T]$ kifejezések tehát könnyen fel-

írhatók. (33) nevezőit illetően nehezebb a helyzetünk. Teljes indukcióval nem nehéz azonban bebizonyítani, hogy azok is egyszerűen kifejezhetők a következőképpen:

$$\sqrt{P_s^2[T] - P_n^2[T]} = (1 - m_2^2 \Phi^2)(t - m_1^2 \Phi^2) \dots (1 - m_1^2 \Phi^2) [\sqrt{1 - \beta^2 \Phi^2} \sqrt{1 - \beta^{-2} \Phi^2}] \quad (34)$$

A (34) képletben — és a későbbiekben is ezután — változtattunk az eddigi jelöléstechnikán: a párosával fellépő, tehát páronként megegyező modulusokat azonos indexszel jelöltük. Ezek a modulusok akár véges, akár extrém frekvenciákhoz is tartozhatnak, vagyis m_r -k között β és β^{-1} is tetszés szerint

menyiségben szerepelhet. A gyökös kifejezések egy-egy 0, ill. végtelen frekvencián levő pólushoz tartoznak. Gyökös tényező csak akkor lép fel, ha az extrém frekvencián levő pólusok száma páratlan.

A K függvény Φ -ben kifejezett alakja tehát:

$$K_{szim} = \pm j\epsilon \frac{1 + m_n^{(2)}\Phi^2 + m_n^{(4)}\Phi^4 + \dots + m_n^{(n)}\Phi^n}{(1 - m_1^2\Phi^2)(1 - m_2^2\Phi^2) \dots (1 - m_{\frac{n}{2}-1}^2\Phi^2) \sqrt{(1 - \beta^{-2}\Phi^2)(1 - \beta^2\Phi^2)}} \quad (35a)$$

$$K_{antim} = \pm \epsilon \frac{1 + m_n^{(2)}\Phi^2 + m_n^{(4)}\Phi^4 + \dots + m_n^{(n)}\Phi^n}{(1 - m_1^2\Phi^2)(1 - m_2^2\Phi^2) \dots (1 - m_{\frac{n}{2}-2}^2\Phi^2)(1 - \beta^{-2}\Phi^2)(1 - \beta^2\Phi^2)} \quad (35b)$$

n az összes csillapításpólus száma, egyben K , s az üzemi paraméteres szűrő fokszáma. n mindig páros szám.

Ha (35)-be Φ (13) alakját visszahelyettesítjük, megkapjuk a keresett karakterisztikus függvényt p -ben kifejezve. Szimmetrikus esetben:

$$K_{szim} = \pm j\epsilon \frac{1 + m_n^{(2)} \frac{\beta^2 + p^2}{1 + \beta^2 p^2} + m_n^{(4)} \left(\frac{\beta^2 + p^2}{1 + \beta^2 p^2} \right)^2 + \dots + m_n^{(n)} \left(\frac{\beta^2 + p^2}{1 + \beta^2 p^2} \right)^{\frac{n}{2}}}{\left(1 - m_1^2 \frac{\beta^2 + p^2}{1 + \beta^2 p^2}\right) \left(1 - m_2^2 \frac{\beta^2 + p^2}{1 + \beta^2 p^2}\right) \dots \left(1 - m_{\frac{n}{2}-1}^2 \frac{\beta^2 + p^2}{1 + \beta^2 p^2}\right) \sqrt{1 - \beta^{-2} \frac{\beta^2 + p^2}{1 + \beta^2 p^2}} \sqrt{1 - \beta^2 \frac{\beta^2 + p^2}{1 + \beta^2 p^2}}} \quad (36)$$

$(1 + \beta^2 p^2)^{\frac{n}{2}}$ -vel bővítve a törtet, továbbá összevonásokat és kiemeléseket végezve, (36)-ból kapjuk:

$$K_{szim} = \pm k_0 \frac{(1 + \beta^2 p^2)^{\frac{n}{2}} + m_n^{(2)}(\beta^2 + p^2)(1 + \beta^2 p^2)^{\frac{n}{2}-1} + \dots + m_n^{(n-2)}(\beta^2 + p^2)^{\frac{n}{2}-1} (1 + \beta^2 p^2) + m_n^{(n)}(\beta^2 + p^2)^{\frac{n}{2}}}{p(p^2 + b_1^2)(p^2 + b_2^2) \dots (p^2 + b_{\frac{n}{2}-u}^2)} \quad (37a)$$

ahol

$$k_0 = \left| \epsilon \frac{\beta}{(\beta^4 - 1)^u (\beta^2 - m_1^2)(\beta^2 - m_2^2) \dots (\beta^2 - m_{\frac{n}{2}-u}^2)} \right|, \quad (38a)$$

a b_i pólusfrekvenciák pedig:

$$b_i = \sqrt{\frac{1 - m_i^2 \beta^2}{\beta^2 - m_i^2}}. \quad (39)$$

A végtelen frekvencián felvett pólusok száma $2u - 1$ ($u = 1, 2, \dots$), a zérus frekvencián felvett pólusok száma bármilyen páratlan szám lehet. (Ha a zérus frekvencián felvett pólusok száma 1-nél nagyobb páratlan szám, akkor további b_r -k válnak zérussá, s a nevezőben p helyett p^3, p^5, \dots tényezők jelennek meg).

Hasonlóképpen kapjuk az antimetrikus esetben:

$$K_{antim} = \mp k_0 \frac{(1 + \beta^2 p^2)^{\frac{n}{2}} + m_n^{(2)}(\beta^2 + p^2)(1 + \beta^2 p^2)^{\frac{n}{2}-1} + \dots + m_n^{(n-2)}(\beta^2 + p^2)^{\frac{n}{2}-1} (1 + \beta^2 p^2) + m_n^{(n)}(\beta^2 + p^2)^{\frac{n}{2}}}{p^2(p^2 + b_1^2)(p^2 + b_2^2) \dots (p^2 + b_{\frac{n}{2}-v}^2)} \quad (37b)$$

ahol

$$k_0 = \left| \epsilon \frac{\beta^2}{(\beta^4 - 1)^u (\beta^2 - m_1^2)(\beta^2 - m_2^2) \dots (\beta^2 - m_{\frac{n}{2}-v}^2)} \right|, \quad (38b)$$

a b_i pólusfrekvenciákra pedig itt is (39) érvényes. A végtelen frekvenciára felvett pólusok száma $2v - 2$ ($v = 2, 3, 4, \dots$), a zérus frekvenciára felvett pólusok száma bármilyen páros szám lehet. (Ha a zérus frekvencián felvett pólusok szám 2-nél nagyobb páros szám, akkor további b_r -k válnak zérussá, s a nevezőben p^2 helyett p^4, p^6, \dots tényezők jelennek meg).

Láthatjuk, hogy a két esetben adódott $K(p)$ függvény alig különbözik egymástól. A (37) alakot azonban még mindig nem tekinthetjük véglegesnek; hiszen a számlálóban levő kifejezés rendkívül bonyolult. Nagyobb n esetén igen-igen hosszadalmas algeb-

rai átalakításokat kellene végeznünk ahhoz, hogy K számlálóját a (6) szerinti továbbszámoláshoz szükséges p -polinom alakban kapjuk meg. Valószínűleg ez az oka annak, hogy hasonló esetekben más szerzők egészen más utat ajánlanak. Nevezetesen azt, hogy számítsuk ki K zérusait a (35) alakból kiindulva. Ehhez meg kell oldanunk egy $n/2$ -ed fokú egyenletet, majd az eképpen Φ^2 -re kapott gyökökből

$$p_i^2 = \frac{\beta^2 - \Phi_i^2}{1 - \beta^2 \Phi_i^2} \quad (40)$$

helyettesítéssel ki kell számítanunk K zérusait. Ezáltal K számlálóját $(p^2 + p_1^2)(p^2 + p_2^2) \dots (p^2 + p_{\frac{n}{2}}^2)$ szerinti gyöktényezős alakban kapjuk meg, s a szorzások elvégzése után áll majd elő K polinom alakú számlálója. A nevező kialakítása ugyanaz, mint fent.

Ez az út természetesen korrekt, járható.

Mi most egy másik lehetőséget adunk meg. Sikertült a (37) számlálójában levő bonyolult kifejezésre általános, explicit formulát, és viszonylag egyszerű

sémát találnunk. Nem kell magas fokú egyenletet megoldanunk és K számlálóját rögtön polinom formájában kapjuk meg. Legyen tehát a K számlálójában levő kifejezés:

$$a_0(1 + \beta^2 p^2)^{\frac{n}{2}} + a_2(\beta^2 + p^2)(1 + \beta^2 p^2)^{\frac{n}{2}-1} + \dots + a_{n-2}(\beta^2 + p^2)^{\frac{n}{2}-1} (1 + \beta^2 p^2) + a_n(\beta^2 + p^2)^{\frac{n}{2}} = c_0 + c_2 p^2 + c_4 p^4 + \dots + c_n p^n. \tag{41}$$

Az egyszerűség kedvéért új jelölést vezettünk be az elemi szimmetrikus formákra: $a_2 = m_n^{(2)}$, $a_4 = m_n^{(4)}$, ... és így tovább, valamint definíciószerűen $a_0 = 1$.

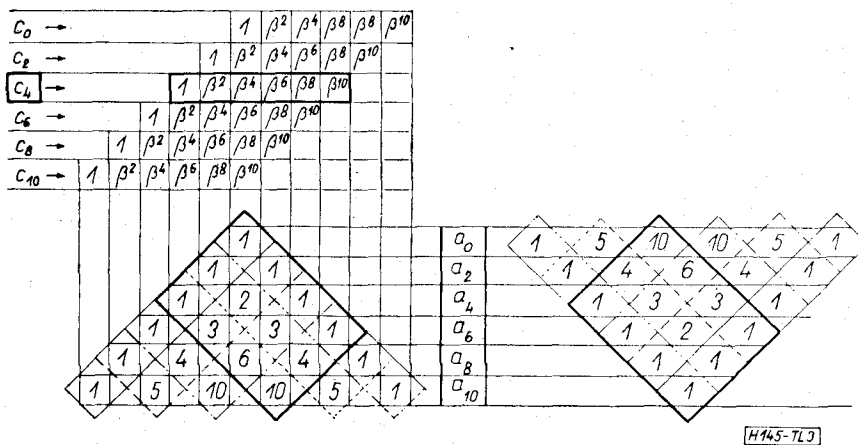
Ekkor az egyes c_i együtthatókat a következő formulából számíthatjuk ki:

$$c_i = \sum_{k=0}^{n/2} \left[\sum_{l=0}^M \binom{k - \frac{i}{2} + 2l}{l} \binom{\frac{n}{2} - \frac{i}{2} - k}{M-l} a_{|2k-i|+4l} \right] \beta^{2k}, \tag{42}$$

ahol

$$M = \min \left(k, \frac{n}{2} - k, \frac{i}{2}, \frac{n}{2} - \frac{i}{2} \right).$$

A (42) képletet persze könnyű programozni. De igen érdekes, hogy a c_i mennyiségek milyen gördülékenyen adódnak ki az alábbi sémából, ha ismerjük a képzési szabályokat (3. ábra).



3. ábra. A (42) képlet interpretálásához

Két Pascal-háromszöget kell felrajzolnunk $n/2$ -ig bezárólag, az egyiket fejjel lefelé. (A ábrában $n/2=5$). Képezzünk ki egy vízszintes és függőleges vonalokból álló hálórendszert, amely mindkét Pascal-háromszög elemeit magába foglalja. Írjuk be ebbe a hálórendszerbe az ábrán látható módon az a_j , β^{2k} és c_i együtthatókat is. Ezek után mindegyik c_i -hez rendeljünk hozzá az első és a második Pascal-háromszögben is egy ferde álló téglalapot. Ezek az összetartozó téglalapok azonos állásúak, mindkettőnek két szomszédos oldala a Pascal-háromszög szárainhoz simul. Az ábrában az összetartozást azonos vonalazással juttattuk kifejezésre. Hogy mely téglalapok tartoznak az egyes c_i -khez, azt az egyes téglalapok fölött elhelyezkedő β -k egyértelműen megadják. Mindegyik téglalapnak $n/2+1$ „oszlopa” van. Ezek csonka oszlopok, hiszen c_0 esetén csak egy (1-es) számból állnak, c_2 esetén legfeljebb 2, c_3 esetén legfeljebb 3 szám tartozhat egy oszlophoz, ... c_n esetén pedig ismét csak egy 1-es szám alkotja az oszlopokat.

Az oszlopokat — mint már az eddigiekből is kitűnhetett — az egyes β -sorokból kiinduló függőleges vonalak jelölik ki. Ezek után a c_i együtthatók a következőképpen képezhetők.

Csúsztassuk el gondolatban a jobb oldali Pascal-háromszöget bal felé addig, amíg az összetartozó téglalapok fedésbe nem kerülnek. Így mindegyik pozícióban 2 szám kerül egymás fölé: az eredeti és az elcsúsztatott Pascal-háromszög binomiális együtthatója. Szorozzuk össze a megfelelő téglalapban elhelyezkedő összes pozícióra vonatkozóan az egymás fölé került két binomiális együtthatót, a két binomiális együttható sorához tartozó a_j , és az oszlopához tartozó β^{2k} mennyiséget, s adjuk ezeket össze. A kapott összeg adja meg c_i -t. Célszerű a szorzatok képzésekor oszloponként (vagy soronként) haladni, így a kiemelhető β^{2k} (vagy a_j) kifejezések is rögtön kiadódnak.

Például a 3. ábrából, aholis $n=10$ volt, c_4 értéke a következőképpen számítható:

$$c_4 = a_4 + (4a_2 + 3a_6)\beta^2 + (10a_0 + 6a_4 + 6a_8)\beta^4 + (6a_2 + 6a_6 + 10a_{10})\beta^6 + (3a_4 + 4a_8)\beta^8 + a_6\beta^{10}.$$

Ellenőrizhetjük, hogy a (42) — és a (41) — kifejezés is ugyanezt az eredményt adja.

A (37) képletet (41) és (42)-vel kiegészítve megadják a keresett karakterisztikus függvényt.

Még K előjelének megválasztásáról kell néhány szót ejtenünk. Ehhez a következőket kell tudni:

— ha $K(p)$ páros részének előjelét megváltoztatjuk, ez a szűrő primér és szekunder oldalának felcserélésével ekvivalens,

— ha az egész $K(p)$ előjelét ellenkezőjére változtatjuk, akkor az eredeti hálózat duálját kapjuk,

— $K(p)$ páratlan részének előjelváltása megfelel a hálózat duálba fordításának és a két oldal felcserélésének.

Ebből következik, hogy az előjelválasztás úgyszólván tetszőleges. Legtöbbször azonban a két duál változat közül csak az egyik jó számunkra. Ha ragaszkodunk a duálok közül azokhoz, amelyekben kevesebb tekercs szerepel, úgy K előjelét pozitívnak kell venni akkor, ha sönt ággal kezdődik a kapcsolás, negatívnak, ha soros ággal.

Összefoglalás

Mégegyszer, igen röviden, a 2. táblázat kapcsán összefoglaljuk a karakterisztikus függvény meghatározásának fő lépéseit.

A tervezést β és ε meghatározásával kezdjük (1., 2. lépés). Ezután a záró tartománybeli követelményeket a_0 -ra számítjuk át. Felvesszük a pólusokat a γ -síkon, Rumpelt-táblázat segítségével úgy, hogy az előírások teljesüljenek. Közben ügyelünk a 3. pontban leírt feltételek betartására (A, B, C feltétel). A póluselrendezés befejezésekor a modulusok rendelkezésünkre állnak (3. lépés). A modulusokból kiszámítjuk azok páros rendű elemi szimmetrikus formáit is, amelyeket utóbb $a_0 (= 1), a_2, a_4, \dots, a_n$ -el jelöltünk (4. lépés). Eddig tehát 4 mennyiségcsoport áll rendelkezésünkre: β, ε, a modulusok és az a_i elemi szimmetrikus formák. Ezek ismeretében a $K(p)$ karakterisztikus függvény számítható. A számítást a (37), (38), (39), (41), (42) képletek (ill. a Pascal-háromszöges séma) alapján végezzük, amelyeket a 2. táblázat 5. oszlopában gyűjtöttünk össze.

4. A szűrői felépítésének meghatározása

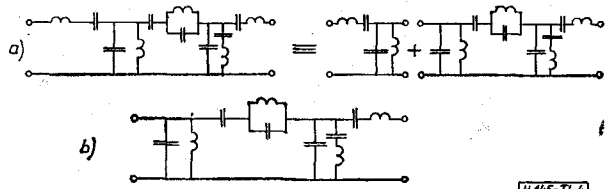
Mint már többször említettük, ebben a cikkben csupán minimális tekercsszámú létrahálózatokkal foglalkozunk. Ilyen megszorítások mellett egy adott $K(p), I(p)$ pároshoz tartozó kapcsolás meghatározása majdnem teljesen egyértelmű. Ebben a fejezetben a helyes felépítés megadására vonatkozóan kívánunk általános útmutatást nyújtani.

1. Azok számára, akik az általános hullámparaméteres sávszűrő-méretezést [20, 21] jól ismerik, ezt a kérdést igen egyszerűen el lehet intézni. Lényegében nem kell mást tenni, mint a 3. fejezet 3. pontjában megjeleníthető, összesen n pólusú, képzeletbeli referens hullámszűrő kapcsolási rajzát kijelölni (de

sohasem az elemértékeket kiszámítani!) úgy, ahogy azt a hullámparaméteres méretezéskor szoktuk. Ebből a kapcsolásból egy 0-án és egy ∞ frekvencián hullámpólust adó részt elhagyva, megkapjuk a keresett üzemi paraméteres szűrő kapcsolását. Pl. ha összesen 4 pár pólust vettünk fel, ebből 1—1 párat 0 és ∞ frekvenciára, azaz a karakterisztikus függvény

$$K = k_0 \frac{c_8 p^8 + c_6 p^6 + \dots + c_0}{p^2(p^2 + b_1^2)(p^2 + b_2^2)} \quad (43)$$

alakú, akkor a referens hullámszűrő a 4a ábra szerinti. Ebből elhagyva az elején levő L -tagot, amelynek 1—1 hullámpólusa van 0 és ∞ frekvencián,



4. ábra

megkapjuk az üzemi paraméteres szűrő kapcsolását (4b ábra).

Itt is ügyelni kell azonban annak a buktatónak az elkerülésére, amelyről a 3. pontban lesz szó.

Általános tételek

2. Kétségtelen, hogy a feladatnak a referens hullámszűrőktől független, önálló megoldása kevésbé elvont, de nehezebben megfogalmazható. Két alapvető törvényt kell itt figyelembe venni.

2.1 Könnyen bizonyítható, hogy a 2. ábrán levő hálózat saját frekvenciáit $I(p)$ zérusai adják. Így a hálózat fokszáma, amely megegyezik $I(p)$ ($I(p)$ számlálója) fokszámaival, egyben azonos a sajátfrekvenciák számával. Viszont egy, a hálózatelméletből ismert törvény kimondja, hogy egy RLC hálózat sajátfrekvenciáinak számát megkapjuk, ha a reaktanciák számának összegéből kivonjuk a független, reaktáns egynemű hurkok és vágatok összegét [10, 22].

Röviden: egynemű huroknak, ill. vágatnak nevezük az olyan hurkot, ill. vágatot, amelynek éleit csupa azonos fajtájú impedancia alkotja. Eképpen beszélhetünk ellenállás-, induktív és kapacitív hurokról, illetőleg ellenállás-, induktív és kapacitív vágatról. Az egymástól független vágatok sokszor mind csúcsvágatnak vehetők fel. Pl. az 5. ábrán levő RLC hálózatban a D csomópont körül kapacitív csúcsvágat van, az E csomóponthoz induktív és kapacitív vágat is tartozik, az ABF pontok között egy ellenállás-hurok és egy kapacitív hurok feszül, a BCF pontok között pedig egy induktív és egy kapacitív hurok. A hálózat sajátfrekvenciáinak száma: $(7+10) - (1+2+1+2) = 11$.

Ugyanez érvényes természetesen sávszűrőre, amelynek foksámát tehát a következő képlet adja:

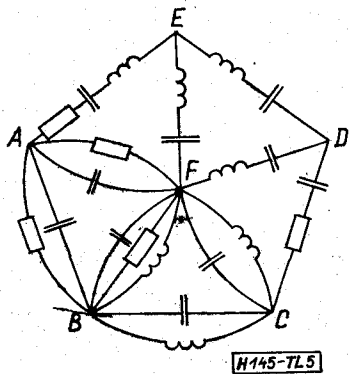
$$n = n_L + n_C - (v_L + v_C + h_L + h_C) \quad (44)$$

A karakterisztikus függvény meghatározásának lépései

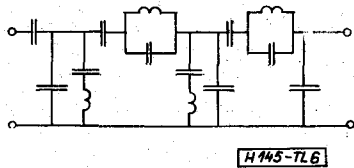
2. táblázat

1	2	3	4	5
m_1 m_1 m_2 m_2 m_3 m_3 \dots β^{-1} β \dots β összesen n db módulus	$a_0 = 1$ $a_2 = m_n^{(2)}$ $a_4 = m_n^{(4)}$ \dots \dots \dots $a_{n-2} = m_n^{(n-2)}$ $a_n = m_n^{(n)}$	$\left. \begin{matrix} \text{összesen} \\ (2u-1) \text{ db,} \\ u = 1, 2, 3, \dots \end{matrix} \right\}$ összesen n db módulus vagy	$K_{\text{szim}} = \pm k_0 \frac{c_n p^n + c_{n-2} p^{n-2} + \dots + c_4 p^4 + c_2 p^2 + c_0}{p(p^2 + b_1^2)(p^2 + b_2^2) \dots (p^2 + b_{\frac{n}{2}-u}^2)}$ $k_0 = \left \frac{\varepsilon \beta}{(\beta^4 - 1)^u (\beta^2 - m_1^2)(\beta^2 - m_2^2) \dots (\beta^2 - m_{\frac{n}{2}-u}^2)} \right $	$b_i = \sqrt{\frac{1 - m_i^2 \beta^2}{\beta^2 - m_i^2}}$ $c_l = \sum_{k=0}^{n/2} \sum_{l=0}^M \binom{M-l}{l} \binom{n-i}{2} \binom{n-i-k}{2} \binom{n-i-k+2(M-l)}{M-l} a_{ 2k-l+4l } \beta^{2k}$ $M = \min \left(k_5 \frac{n}{2} - k_5 \frac{i}{2}, \frac{n-i}{2} \right)$
β m_1 m_1 m_2 m_2 \dots β^{-1} β^{-1} β \dots β összesen n db módulus	$a_{n-2} = m_n^{(n-2)}$ $a_n = m_n^{(n)}$	$\left. \begin{matrix} \text{összesen} \\ (2v-2) \text{ db,} \\ v = 2, 3, 4, \dots \end{matrix} \right\}$ összesen n db módulus	$K_{\text{antim}} = \pm k_0 \frac{c_n p^n + c_{n-2} p^{n-2} + \dots + c_4 p^4 + c_2 p^2 + c_0}{p^2(p^2 + b_1^2)(p^2 + b_2^2) \dots (p^2 + b_{\frac{n}{2}-v}^2)}$ $k_0 = \left \frac{\varepsilon \beta^2}{(\beta^4 - 1)^v (\beta^2 - m_1^2)(\beta^2 - m_2^2) \dots (\beta^2 - m_{\frac{n}{2}-v}^2)} \right $	

n_L a tekercsek, n_C a kondenzátorok száma, v_L és v_C az induktív, ill. kapacitív vágatok száma, h_L és h_C pedig az induktív, ill. kapacitív hurkok száma. Például a 4b ábrán látható, (43) szerinti $K(p)$ függvénnyel rendelkező (a $\Gamma(p)$ függvény ugyanilyen alakú, csak a számlálóban az együtthatók mások)



5. ábra



6. ábra. Paraméteres szűrő

sávszűrő fokszáma $4+6-(0+1+0+1)$, ami valóban 8.

2.2 Másodsorban arra az ismert tényre kell utalnunk, hogy egy létrakapcsolásban az üzemi csillapítás pólusokat a hosszági impedanciák szakadássai és a keresztági impedanciák rövidzárjai hozzák létre.

Véges frekvencián levő csillapításpólusok esetén ez gyakorlatilag annyit jelent, hogy minden póluspárhoz tartozik egy parallel rezgőkör a hosszanti ágban, vagy egy soros rezgőkör a keresztágban. Cikkcakk megvalósítás esetén az előbbi csak a felső, az utóbbi csak az alsó záró tartományban adhat csillapításpólust.

Zérus és végtelen frekvencián kicsit más a helyzet. Cikkcakk alapkapsolás esetén (6. ábra) mindegyik hosszágban van soros kondenzátor, amelyik 0 frekvencián szakadást jelent. Ugyancsak mindegyik keresztágban van sönt kondenzátor, amely végtelen frekvencián jelent rövidzárt. Ezek a töltelék kondenzátorok azonban együttesen is csupán egyetlen pólust jelentenek 0 és ∞ frekvencián. Így pl. a 6. ábrán látható szűrőnek mindössze 1 pólusa van ∞ , 1 zérus frekvencián, továbbá 4 pár pólusa a végesben, ami összesen 10 pólus; vagyis a szűrő tizedfokú. Meggyőződhetünk róla, hogy ugyanez a fokszám adódik a (44) képletből is. A szűrő üzemi átviteli tényezőjének alakja:

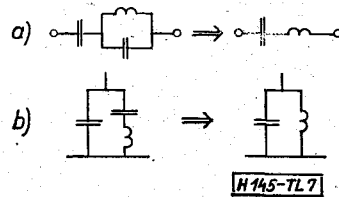
$$\Gamma(p) = k_0 \frac{d_{10}p^{10} + d_9p^9 + \dots + d_2p^2 + d_1p + d_0}{p(p^2 + b_1^2)(p^2 + b_2^2)(p^2 + b_3^2)(p^2 + b_4^2)} \quad (45)$$

Ha több pólust akarunk létrehozni 0-án vagy ∞ -en, akkor a 7. ábrán látható, elfajult hosszági, ill. keresztági impedanciákkal kell operálnunk. Egy ilyen impedancia 2 pólust jelent ∞ , ill. 0 frekvencián, ha a szűrő belsejében van, de csak egyet, ha a szűrő valamelyik végén van. Így például a 4b ábrán látható szűrő végein levő parallel, ill. soros rezgőkör 1-1 pólust ad 0 és végtelen frekvencián, a „töltelék” kondenzátorok további 1-1-et, így a végeredmény: 2 pólus ∞ -ben, 2 pólus 0-án, valamint 2 póluspár a végesben. A szűrő 8-adfokú, $K(p)$ és $\Gamma(p)$ függvénye (43) alakú, amely eredmény teljesen megegyezik az ugyanerre a szűrőre a 2.1 pontban más úton kapott eredménnyel.

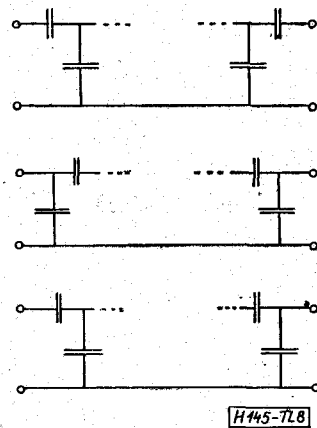
Úgy gondoljuk, az elmondottak alapján egy adott $\Gamma(p)$ függvényhez tartozó kapcsolás cikcakk formában való felrajzolása nem okoz különösebb nehézséget az olvasó számára. A cikkünkben tárgyalt szűrők esetén azonban van egy korlátozás.

*Hagyományos szűrő → paraméteres szűrő
Minimális tekercsszám*

3. Ez a korlát pedig abban nyilvánul meg, hogy pl. a 6. ábrán mutatott kapcsolásban a cikkünkben tárgyalt, hagyományos szűrők nem realizálhatók. Általában: a tárgyalt szűrők nem realizálhatók olyan



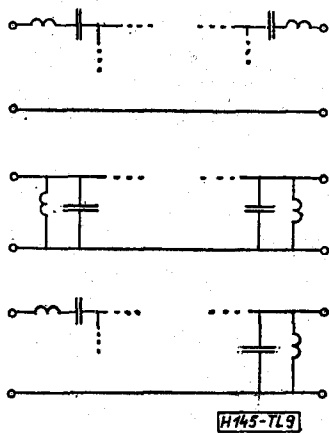
7. ábra. A csillapításpólus végtelen, ill. zérus frekvenciára tolódik



8. ábra. Hagományos szűrők számára tiltott végződések

kapcsolásban, amelyek végződésai a 8. ábra szerinti.

Ezt az állítást könnyű bizonyítani. A (3) képletet alkalmazva a 8. ábra szerint végződő szűrőkre, azt kapjuk, hogy r_1 és r_2 -1-hez tart $p=0$ -nál és +1-hez tart $p \rightarrow \infty$ esetén. $r_i(p)$ ($i=1, 2$) folytonos függvény



9. ábra. Hagyományos szűrők számára megengedett végződés

Némi meggondolással a (44) összefüggésből levezethető az is, hogy paraméteres szűrővel elérhető az elméletileg lehetséges legkisebb tekerccszám, amely

$$n_{L\text{par.}} \cong \frac{n}{2} - 1. \tag{46}$$

Hagyományos esetben éppen ezt az előnyt veszítjük el, amikor is a tekercek minimális száma

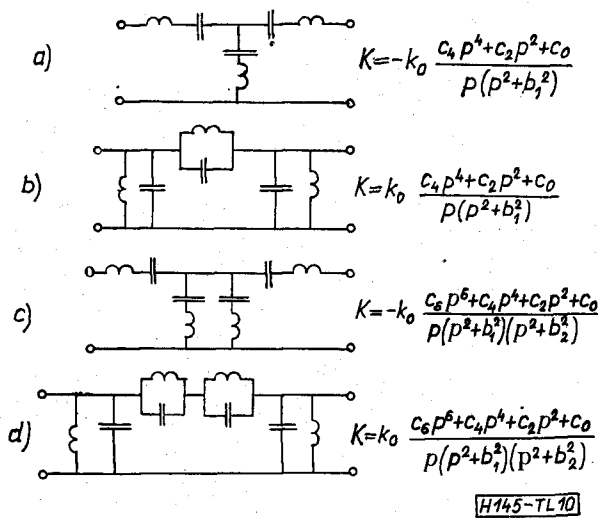
$$n_{L\text{hagy.}} \cong \frac{n}{2}. \tag{47}$$

Mi a teendő tehát akkor, ha csupán a fentebb leírt szabályokat tekintve, a 8. ábra tilalmaiba ütközünk.

Antimetrikus szűrők esetén ez ritkán fordul elő, hiszen ott legalább 2 pólus lévén 0-án és ∞ -ben, szükségünk van egy soros rezgőkörre a hosszágban és egy parallel rezgőkörre a keresztágban. Ezeket a szűrő végeire tehetjük (9. ábra). Ez történt pl. a 4b ábra esetében.

Szimmetrikus szűrőknél, abban az esetben, ha csupán 1-1 csillapításpólusunk van 0-án és ∞ -en, előjönnek a 10. ábrán látható, egyenlő reaktanciaszámú kapcsolások, illetve ezek láncbafűzései. A kapcsolások mellett a $K(p)$ karakterisztikus függvény alakját is feltüntettük.

E kapcsolásokat elkerülendő nem kell mást tenni, mint még egy-pólyt felvenni 0 és ∞ frekvenciára, miáltal sávszűrőnk antimetrikusba fordul, vagy, ha ez nem megengedett, akkor legalább az egyik extrém frekvenciára legalább 3 pólust felvenni. Mindkét esetben szabályos és megengedett cikcakk kapcsoláshoz jutunk. Az utóbbi esetre találunk példát a 11. ábrán. Összehasonlítva a 10a és 10b ábrával, láthatjuk, hogy ez esetben egyetlen kondenzátortöbblet árán 2-vel magasabb fokszámú, gazdaságosabb szűrőhöz jutottunk.

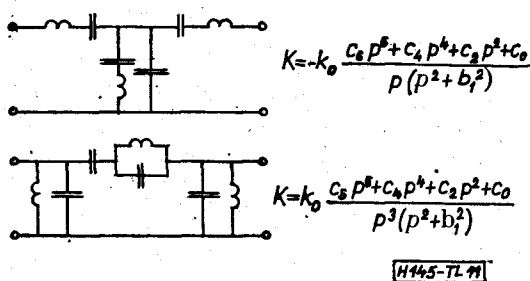


10. ábra

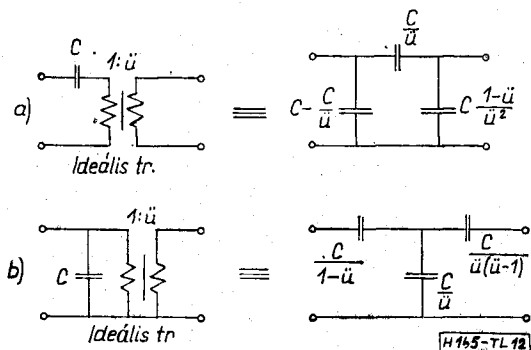
Eltérő lezáró ellenállások. Egyéb átalakítások

4. A (6) képletek alapján elvileg bármilyen lezáró ellenállások közé tervezhetünk sávszűrőt. Mégis előfordul, hogy a felvett kapcsoláshoz csak egyetlen meghatározott lezáró ellenállás-pár tartozhat, nem pedig olyan, amilyenre szükségünk van. Ez legkésőbb akkor derül ki, ha két oldalról elindulva a le-

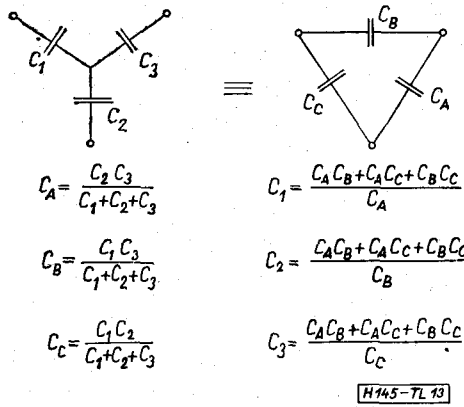
lévén ebből az következik, hogy $r_1(p)$ és $r_2(p)$ -nek kell lennie legalább egy zérusának a pozitív reális p -tengelyen. Mivel azonban $r_1(p)$ zérusai egyben $K(p)$ zérusai is és fordítva (2), $K(p)$ -nek is kell legalább egy zérust tartalmaznia a reális p -tengelyen. Az ilyen szűrőt hívják szabad paraméterű, vagy röviden paraméteres szűrőnek [6, 7]. Másrészt tudjuk, hogy az általunk tárgyalt, hagyományos szűrőknél $K(p)$ minden zérusa a képzetes tengelyre esik (8), (9), s ezzel állításunkat igazoltuk.



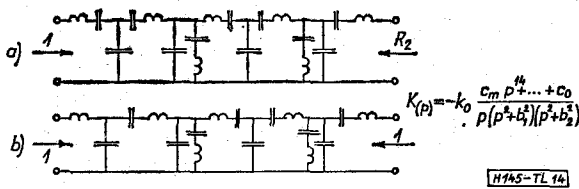
11. ábra



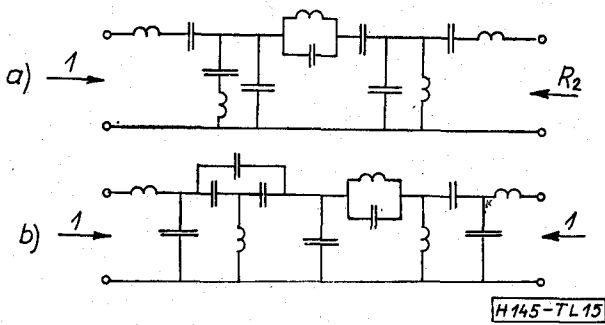
12. ábra. Kapacitív transzformációk



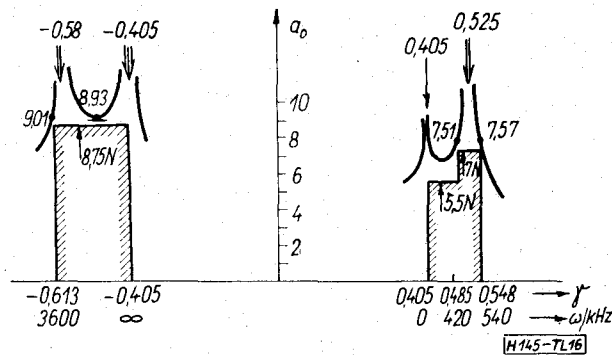
13. ábra



14. ábra



15. ábra



16. ábra

fejtsénel, a találkozáskor nem azonos elemérték adódik. Ilyenkor nyugodtan kiszámolhatjuk az elemeket arra a lezáró ellenállásra, amelyet a kapcsolat kíván. A nekünk szükséges lezáró ellenállásokhoz legtöbbször utólag is módosíthatjuk a kapcsolást vagy egy söntági tekercs autotranszformátorral alakításával, vagy pedig a 12a vagy 12b ábrán látható kapacitív transzformációval.

A fordított eset szintén előfordulhat. Az, hogy a felvett kapcsolás elemei előre rögzített lezáró-

ellenállások esetén sem mind meghatározottak. Redundáns kondenzátorok lehetnek a kapcsolásban, amelyeket ha nem tudunk vagy nem akarunk előre kiszűrni, utólag is eltávolíthatunk az említett kapacitív transzformációk, csillag-delta átalakítások (13. ábra) és összevonások megfelelő alkalmazásával. Ilyenkor a redundáns kondenzátorok értékei bizonyos határon belül tetszés szerint vehetők fel. Erre az esetre mutat példát a 14. ábra. A 14a ábrán levő kapcsolásból a redundáns kondenzátorok eltávolítása után a 14b-t nyertük.

A tárgyalt átalakításokat kedvezőbb elemértékek elérése céljából is alkalmazhatjuk. Gyakran megesisik, hogy egy-egy ilyen átalakítás-sorozat végeztével annyira eltérő kapcsolást kapunk, hogy az eredetit alig ismerjük fel. Pl. a 15a ábrán levő szabályos cikcakk kapcsolásból a kisebb tekercs- és kondenzátorértékek elérése céljából végrehajtott transzformációk után a 15b ábrán látható kapcsolást kaptuk. Együttal az eredetileg $R_2 \neq 1$ -re adódott lezáró ellenállás is a kívánt 1-re változtattuk.

5. Példa

A tervezendő sávszűrő előírásai legyenek a következők.

Áteresztő tartomány: 1–2,25 kHz, ahol a relexiós csillapítás legyen $a_r \geq 2,3$ N.

A záró tartományban az üzemi csillapítás-előírások:

- 0–420 Hz között: $a > 2,5$ N,
- 420–540 Hz között: $a > 4$ N,
- 3,6 kHz fölött: $a > 5,75$ N.

Lezáró ellenállás mindkét oldalon: 2,4 kΩ.

1. A tervezést normálással és β felvételével kezdjük. Az előző fejezet 1. pontjában leírtak szerint

$$\sqrt{1 \text{ kHz} \cdot 2,25 \text{ kHz}} = 1,5 \text{ kHz} = 1, \quad (48)$$

$$\beta = \frac{2,25 \text{ kHz}}{1,5 \text{ kHz}} = 1,5. \quad (49)$$

2. ϵ értékét (28)-ből határozhatjuk meg, de az 1. táblázatban is megtaláljuk:

$$\epsilon = 0,10 \quad (50)$$

3. (10) és (28)-ből látható, hogy az a_0 -ra vonatkozó követelmények $2,3 + 0,7 = 3$ N-rel nagyobbak az a üzemi csillapításra megadottnaknál. A γ és ω közötti összefüggés (30) alapján:

$$\gamma = \frac{1}{2} \ln \frac{2,25 - \omega^2}{1 - 2,25 \omega^2} \quad (51)$$

Néhány fontosabb frekvencia γ -ban kifejezett értéke:

ω /kHz	ω	γ
0	0	0,405
0,42	0,28	0,485
0,54	0,36	0,548
3,6	2,4	-0,613
∞	∞	-0,405

Ezekkel az adatokkal az a_0 -ra vonatkozó tolerancia-diagram a γ -skálán megrajzolható. Ez látható a 16. ábrán. Ezután póluselrendezést végzünk a 3. fejezet 3. pontjában levő szabályok figyelembevételével. Rövid próbálgatás után az ugyancsak a 16. ábrán levő végeredményhez jutottunk. Látható, hogy a csillapítás-előírások mindenütt teljesülnek.

Hogy elkerüljük a 10. ábrán látható struktúrákat, végtelen frekvencián 3 pólust vettünk fel. 1 pólus van 0-án, további 1-1 pár a végesben, összesen tehát 8 pólus. Szűrőnk 8-adfokú ($n=8$), szimmetrikus lesz.

A modulusok:

$$\begin{aligned} m_1 &= e^{-0,525} = 0,592 & (2\text{-szer}) \\ m_2 &= e^{0,58} = 1,786 & (2\text{-szer}) \\ e^{-0,405} &= 1,5^{-1} = \beta^{-1} & (1\text{-szer}) \\ e^{0,405} &= 1,5 = \beta & (3\text{-szor}; u=2) \end{aligned}$$

4. A fenti 8 modulus elemi szimmetrikus formáit két lépésben számítjuk ki. Foglaljuk egy csoportba az első négy modulusot, egy másik csoportba a második négyet. Először kiszámítjuk e két csoport elemi szimmetrikus formáit külön-külön:

$$\begin{aligned} e_1 &= 2(m_1 + m_2) = 4,756 \\ e_2 &= m_1^2 + m_2^2 + 4m_1m_2 = 7,769\ 508 \\ e_3 &= 2m_1m_2(m_1 + m_2) = 5,0285759 \\ e_4 &= m_1^2m_2^2 = 1,11790867 \end{aligned}$$

$$\begin{aligned} c_0 &= a_0 + a_2\beta^2 + a_4\beta^4 + a_6\beta^6 + a_8\beta^8 = 1656,20328 \\ c_2 &= a_2 + (4a_0 + 2a_4)\beta^2 + (3a_2 + 3a_6)\beta^4 + (2a_4 + 4a_8)\beta^6 + a_6\beta^8 = 7468,7928 \\ c_4 &= a_4 + (3a_2 + 3a_6)\beta^2 + (6a_0 + 4a_4 + 6a_8)\beta^4 + (3a_2 + 3a_6)\beta^6 + a_4\beta^8 = 11\ 294,0059 \\ c_6 &= a_6 + (2a_4 + 4a_8)\beta^2 + (3a_2 + 3a_6)\beta^4 + (4a_0 + 2a_4)\beta^6 + a_2\beta^8 = 6775,7755 \\ c_8 &= a_8 + a_6\beta^2 + a_4\beta^4 + a_2\beta^6 + a_0\beta^8 = 1382,24285 \end{aligned}$$

A c_8 együtthatót kiemelve és belevonva a tört előtt álló konstansba, a kapott karakterisztikus függvény:

$$K = -7,0373272 \frac{p^8 + 4,9020153p^6 + 8,1707827p^4 + 5,4033868p^2 + 1,19819993}{p(p^2 + 0,111319817)(p^2 + 6,5727466)} \quad (53)$$

6. A következő lépésben meg kell határoznunk a $\Gamma(p)$ üzemi átviteli tényezőt. Γ -t a Feldtkeller-egyenlőségéből számítjuk ki (5):

$$\Gamma(p)\Gamma(-p) = 1 + K(p)K(-p) = -\frac{49,523974}{p^2(p^2 + 0,111319817)^2(p^2 + 6,5727466)^2} (p^{16} + 9,8040306p^{14} + 40,371319p^{12} + 90,893184p^{10} + 121,863126p^8 + 99,115316p^6 + 48,579548p^4 + 12,937865p^2 + 1,43568307)$$

A számlálóban levő egyenletet megoldva, p^2 -re vonatkozóan a következő gyököket kapjuk. A gyökök konjugált komplex párokban fordulnak elő, amelyet tömören, \pm jelöléssel juttatunk kifejezésre:

$$\begin{aligned} -1,49818592 \pm j\ 0,90928154 &= -\alpha_1 \pm j\beta_1 \\ -0,54263794 \pm j\ 0,48615505 &= -\alpha_2 \pm j\beta_2 \\ -2,5057752 \pm j\ 0,42773524 &= -\alpha_3 \pm j\beta_3 \\ -0,35541620 \pm j\ 0,099805312 &= -\alpha_4 \pm j\beta_4 \end{aligned} \quad (54)$$

$$\begin{aligned} f_1 &= \beta^{-1} + 3\beta = 5,1666667 \\ f_2 &= 3 + 3\beta^2 = 9,75 \\ f_3 &= 3\beta + \beta^3 = 7,875 \\ f_4 &= \beta^2 = 2,25 \end{aligned}$$

Ebből a 8 elemre vonatkozó szimmetrikus formák:

$$\begin{aligned} a_0 &= 1 \\ a_2 &= f_2 + e_1f_1 + e_2 = 42,092175 \\ a_4 &= f_1 + e_1f_3 + e_2f_2 + e_3f_1 + e_4 = 142,555087 \\ a_6 &= e_2f_4 + e_3f_3 + e_4f_2 = 67,981038 \\ a_8 &= e_4f_4 = 2,5152945 \end{aligned}$$

5. Ezután a karakterisztikus függvény már kiszámítható. A szükséges formulákat a 2. táblázatban is megtaláljuk.

A pólusfrekvenciák (39) és a konstans (38a):

$$b_1^2 = 0,111319817; \quad b_1 = 0,33364625 = 500,5 \text{ Hz} \quad (52a)$$

$$b_2^2 = 6,5727466; \quad b_2 = 2,5637369 = 3846 \text{ Hz}, \quad (52b)$$

$$k_0 = 0,10 \frac{1,5}{(5,0625 - 1)^2} \cdot \frac{1}{1,899536 - 0,939796} = 0,0050912379$$

A c_i együtthatók (42):

A balfélsíkban levő gyökökhöz tartozó gyöktényezőket anélkül is megkaphatjuk, hogy magukat a p -re vonatkozó gyököket kiszámítanánk. Továbbra is p^2 -ben gondolkodva, egy gyöktényező

$$p^2 - (-\alpha_i + j\beta_i)$$

alakú, amelyhez hozzávéve a konjugált gyökhöz tartozó tényezőt, a

$$[p^2 - (-\alpha_i + j\beta_i)][p^2 - (-\alpha_i - j\beta_i)] = p^4 + 2\alpha_i p^2 + \alpha_i^2 + \beta_i^2 \quad (55)$$

kifejezést nyerjük. Ezáltal $\Gamma(p) \cdot \Gamma(-p)$ felírható a következő alakban:

$$\Gamma(p) \cdot \Gamma(-p) = -49,523974 \frac{\prod_{i=1}^4 (p^4 + 2\alpha_i p^2 + \alpha_i^2 + \beta_i^2)}{p^2(p^2 + b_1^2)(p^2 + b_2^2)} \quad (56)$$

Az (55) egyenlőség jobb oldalán álló kifejezést bontjuk fel az alábbi két, konjugált tényezőre:

$$p^4 + 2\alpha_i p^2 + \alpha_i^2 + \beta_i^2 = (p^2 + A_i p + B_i)(p^2 - A_i p + B_i), \quad (57a)$$

ahol

$$B_i = \sqrt{\alpha_i^2 + \beta_i^2} \quad (57b)$$

$$A_i = \sqrt{2(B_i - \alpha_i)} \quad (57c)$$

(55) alapján könnyű belátni, hogy (57a)-ban a negatív valós részű gyök a $(p^2 + A_i p + B_i)$ tényezőben rejtőzik, ennek kell tehát a $\Gamma(p)$ -részbe kerülni. (56)-ot szétválasztva így a

$$\Gamma(p) = 7,0373272 \frac{\prod_{i=1}^4 (p^2 + A_i p + B_i)}{p(p^2 + b_1^2)(p^2 + b_2^2)} \quad (58)$$

kifejezést kapjuk. Az A_i és B_i együtthatók (57) alapján közvetlenül (54)-ből számíthatók:

$$\begin{aligned} A_1 &= 0,71322081 & B_1 &= 1,75252788 \\ A_2 &= 0,60979359 & B_2 &= 0,72856205 \\ A_3 &= 0,2692397 & B_3 &= 2,5420202 \\ A_4 &= 0,16581566 & B_4 &= 0,36916362 \end{aligned}$$

Végül az (58) számlálójában kijelölt szorzásokat is elvégezve:

$$\Gamma(p) = \frac{7,0373272}{p(p^2 + 0,111319817)(p^2 + 6,5727466)} (p^8 + 1,7580698p^7 + 6,4474199p^6 + 7,2884338p^5 + 12,214622p^4 + 8,0107427p^3 + 7,3378686p^2 + 2,1555988p + 1,1982002) \quad (59)$$

7. Az elemértékek kiszámításához a primér oldalról vett rövidzárási és a szekunder oldalról vett üresjárási impedanciát fogjuk felhasználni. Γ (59) és

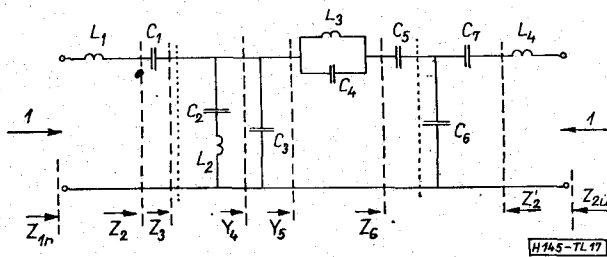
K (53) ismeretében ezek a (6a) és (6d) képletek alapján számíthatók:

$$Z_{1r} = \frac{2p^8 + 11,3494352p^6 + 20,385405p^4 + 12,741255p^2 + 2,3964}{1,7580698p^7 + 7,2884338p^5 + 8,0107427p^3 + 2,1555988p} \quad (60)$$

$$Z_{2ü} = \frac{1,7580698p^6 + 7,2884338p^4 + 8,0107427p^2 + 2,1555988}{1,5454046p^5 + 4,0438393p^3 + 1,9344818p} \quad (61)$$

Az R_1 és R_2 lezáró ellenállásokat 1-nek vettük.

8. A 4. fejezetben leírtak alapján felrajzoljuk a szűrő várható felépítését. Ez a 17. ábrán látható.



17. ábra. (A jelölések az 5. fejezet 9. pontjához illeszkednek)

A 17. ábrában összesen 11 elem van. Az (59) kifejezésben ugyancsak 11 meghatározó paraméter (szám) szerepel: 9 együttható a számlálóban és 2 pólusfrekvencia-négyzet a nevezőben. Ez azt jelenti, hogy joggal választhatjuk mindkét lezáróellenállást 1-nek, valamint, hogy redundáns kondenzátorok sincsenek a kapcsolásban. Valamennyi elem értéke egyértelműen meghatározott.

9. A kapcsolási elemek értékeinek kiszámítását tömören, minden kommentár nélkül közöljük. A számításnál a 17. ábra jelölései a mérvadóak.

$$L_1 = \frac{Z_{1r}}{p} \Big|_{p \rightarrow \infty} = 1,13761126; \quad (62)$$

$$Z_2 = Z_{1r} - pL_1 = \frac{3,0580308p^6 + 11,2722936p^4 + 10,2890219p^2 + 2,3964}{1,7580698p^7 + 7,2884338p^5 + 8,0107427p^3 + 2,1555988p}$$

$$C_1 = \frac{1}{pZ_2} \Big|_{p^2 = -0,111319817} = 0,97493057; \quad (63)$$

$$Z_3 = Z_2 - \frac{1}{pC_1} = \frac{1,25475391p^6 + 3,7964445p^4 + 2,0722904p^2 + 0,185371982}{1,7580698p^7 + 7,2884338p^5 + 8,0107427p^3 + 2,1555988p}$$

Z_3 reciprokát részlettörtre bontva:

$$Y_3 = \frac{1}{Z_3} = \frac{0,94226720 - 1p}{p^2 + 0,111319817} + \frac{1,7580698p^5 + 5,7610930p^3 + 3,4886030p}{1,25475391p^4 + 3,6567655p^2 + 1,66521997} = \frac{L_2^{-1}p}{p^2 + b_1^2} + Y_4;$$

$$L_2 = 0,94226720; \quad (64)$$

$$C_2 = \frac{1}{b_1^2 L_2} = 9,5335236; \quad (65)$$

$$C_3 = \frac{Y_4}{p} \Big|_{p^2 = -6,5727466} = 1,30580667 \quad (66)$$

$$Y_5 = Y_4 - pC_3 = \frac{0,119603770p^5 + 0,98606416p^3 + 1,31414763p}{1,25475391p^4 + 3,6567655p^2 + 1,66521997};$$

Y_5 reciprokát részlettörtekre bontva:

$$Z_5 \equiv \frac{1}{Y_5} = \frac{0,12101872^{-1}p}{p^2 + 6,5727466} + \frac{0,26644591p^2 + 0,25335222}{0,119603770p^3 + 0,199938885p} \equiv \frac{C_4^{-1}p}{p^2 + b_2^2} + Z_6$$

$$C_4 = 0,12101872; \quad (67a)$$

$$\frac{C_5(C_6 + C_7)}{C_5 + C_6 + C_7} = \frac{1}{pZ_6} \Big|_{p=0} = 0,78917361 \quad (70)$$

$$L_3 = \frac{1}{b_2^2 C_4} = 1,2571890; \quad (68)$$

A másik oldalról, $Z_{2ü}$ -ből kiindulva:

$$L_4 = \frac{Z_{2ü}}{p} \Big|_{p \rightarrow \infty} = 1,13761134, \quad (71)$$

Z_6 nem elegendő a hátralevő 4 elem meghatározásához. De

$$\frac{C_5 C_6}{C_5 + C_6} = \frac{1}{pZ_6} \Big|_{p \rightarrow \infty} = 0,44888575, \quad (69)$$

ami megegyezik L_1 -gyel (62). Ez nem meglepő, hiszen szűrőnk szimmetrikus.

Tovább menve:

$$Z'_2 = Z_{2ü} - pL_4 = \frac{2,6881164p^4 + 5,8100543p^2 + 2,1555988}{1,5454046p^5 + 4,0438393p^3 + 1,9344818p};$$

$$\frac{C_6 C_7}{C_6 + C_7} = \frac{1}{pZ'_2} \Big|_{p^2 = -6,5727466} = 0,52584277. \quad (72)$$

A (69), (70) és (72) egyenletekből álló egyenletrendszerből számítható C_5 , C_6 és C_7 értéke:

$$C_5 = 1,1413435 \quad (73)$$

$$C_6 = 0,73987595 \quad (74)$$

$$C_7 = 1,81774814 \quad (75)$$

De máris látható, hogy igen nagy kondenzátorértékek jönnek ki. Kapacitív transzformációval segítünk ezen. A 17. ábrán pontozott vonallal megjelölt két helyre 1:1,407029 áttételű ideális transzformátort téve, a középső rész impedanciaszintjét feltranszformálva és a 12. ábra szerinti ekvivalenciákat felhasználva a 18. ábrán látható végeredményt kapjuk. A végleges elemértékek:

$$L_4 = L_4 = 289,7 \text{ mH} \quad C_1 = 12,468 \text{ nF}$$

$$L_2 = 475,0 \text{ mH} \quad C_2 = 30,633 \text{ nF}$$

$$L_3 = 633,8 \text{ mH} \quad C_3 = 20,299 \text{ nF}$$

$$C_4 = 212,894 \text{ nF}$$

$$C_5 = 2,703 \text{ nF}$$

$$C_6 = 17,623 \text{ nF}$$

$$C_7 = 23,247 \text{ nF}$$

Ezzel a kapcsolási elemeket meghatároztuk. Célszerű azonban a lefejtést a szekunder oldal felől is tovább folytatni azért, hogy a számjegykiesés mértékéről fogalmunk legyen. A fentiekhez hasonló módon eljutva a C_4 kondenzátorig

$$C_4 = 0,12102005 \quad (67b)$$

adódik. Összevetve (67a)-val, láthatjuk, hogy csak a hatodik számjegyben van eltérés. Az 1. fejezetben adott ökölszabály tehát nem bizonyult rossznak.

10. A kapott relatív elemértékeket még be kell szoroznunk az egységnyi induktivitás, ill. kapacitásértékkel.

Mivel

$$\omega_e = 2\pi \cdot 1,5 = 9,424778 \frac{\text{krad}}{\text{sec}}$$

és

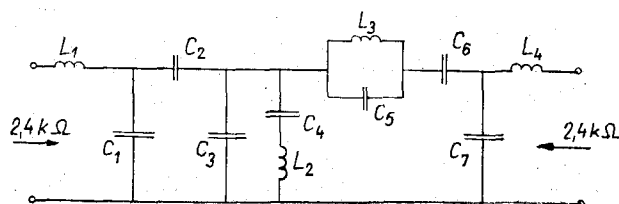
$$R_e = 2,4 \text{ k}\Omega,$$

$$L_e = \frac{R_e}{\omega_e} = 254,65 \text{ mH}$$

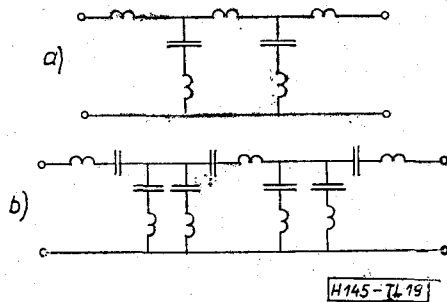
és

$$C_e = \frac{1}{\omega_e R_e} = 44,2097 \text{ nF}.$$

A példában kapott szűrőt érdemes összehasonlítani a frekvenciatranszformációval nyerhető megoldással. Ez utóbbi látható a 19b ábrán. Az a ábrarészen található üzemi paraméteres aluláteresztő szűrőből reaktanciatranszformációval kaptuk a 19b ábrán levő sávszűrőt. Ez a megoldás 7 tekercset és 7 konden-



18. ábra. A példa végeredménye. (A jelölések az 5. fejezet 10. pontjához illeszkednek)



19. ábra. A példa aluláteresztőből frekvencia-transzformációval nyerhető megoldása

zátort, összesen 14 elemet tartalmaz, szemben a 18. ábrán látható $4+7=11$ elemmel. A cikkünkben tárgyalt módszerrel elért megtakarítás — amely itt 3 tekercset jelent — igen jelentős.

*

Ezúton is köszönetemet fejezem ki *dr. Géher Károlynak*, a műszaki tudományok kandidátusának, valamint *dr. Solymosi Jánosnak* a dolgozat kéziratának elolvasásáért, értékes megjegyzéseikért.

I R O D A L O M

- [1] S. Darlington: "Synthesis of reactance-four-poles which produce prescribed insertion loss characteristics". *J. Math. Phys.*, vol. 30, pp. 257—353; Szeptember, 1939.
- [2] H. Piloty: "Kanonische Kettenschaltungen für Reaktanzvierpole mit vorgeschriebenen Betriebseigenschaften". *Telegr. Fernspr. Tech.*, vol. 29, Sept.—Nov., 1940.
- [3] R. Saal—E. Ulbrich: "On the design of filters by synthesis" *IRE Trans. Circuit Theory*, vol. CT-5, pp. 284—327, December 1958.
- [4] T. Iedokoro, T. Tsuchiya, and H. Watanabe: "A new calculation method for the design of filters by digital computer with the special consideration of the accuracy problem" 1963. *IEEE Int. Conv. Rec.*, pt. 2, vol. 11, pp. 100—112.
- [5] J. A. C. Bingham: "A new method of solving the accuracy problem in filter design" *IEEE Trans. Circuit Theory*, vol. CT-11, pp. 327—341, Sept. 1964.
- [6] H. J. Orchard—G. C. Temes: *Filter Design Using Transformed Variables*, *IEEE Trans. Circuit Theory*, vol. CT-15, No. 4. december, 1968.
- [7] G. C. Temes: "Filter design in transformed variables" a következő könyvben: F. F. Kuo and W. Magnuson: *Computer Oriented Circuit Design*; Eds. Englewood Cliffs, N. J.: Prentice-Hall, 1968.
- [8] G. Szentirmai: "A filter synthesis program" a következő könyvben: F. F. Kuo and J. F. Kaiser: *System Analysis by Digital Computer*; Eds. New York, Wiley, 1966.
- [9] J. K. Skwirzynski: "Design Theory and Data for Electrical Filters". London, England: Van Nostrand, 1965.
- [10] S. Seshu—M. B. Reed: *Linear Graphs and Electrical Networks*. Reading, Mass.: Addison-Wesley, 1961.
- [11] C. Norek: "Product method for the calculation of the effective loss LC filters", *Proc. Belgrade Symp. on Network Theory*, 1968, pp. 353—365.
- [12] J. K. Skwirzynski: *On Synthesis of Filters*. *IEEE Trans. Circuit Theory*, vol. CT-18, pp. 152—163. January, 1971.
- [13] J. P. Thiran and P. van Bastelaer: *An accuracy study of filter synthesis methods*; *IEEE Trans. Circuit Theory*, vol. CT-18, pp. 203—205, January, 1971.
- [14] G. Szentirmai: *Computer Aids in Filter Design: A Review*. *IEEE Trans. Circuit Theory*, vol. CT-18. pp. 35—40. January, 1971.
- [15] DeVerl S. Humpherys: *The Analysis, Design, and Synthesis of Electrical Filters*. Prentice-Hall, Inc., Englewood Cliffs, N. J. 1970.
- [16] Géher K.: *Lineáris hálózatok*, Műszaki Könyvkiadó, Bp., 1968.
- [17] Hennyey Z.: *Lineáris áramkörök elmélete*, Akadémiai Kiadó, Bp., 1958.
- [18] Radvány J.: *Veszteségek kiegyenlítése az üzemi paraméteres szűrőméretezésben*. *Híradástechnika XIII. évf.* 1962. 6. sz. dec. 206—209. old.
- [19] Radvány J.: *Számítógép-program aluláteresztő és sávszűrő üzemi paraméteres méretezésére*. *Híradástechnika, XXI. évf. 3. sz.* 1970. márc. 93—95. old.
- [20] Tarlacz L.: *A hullámparaméteres szűrőelmélet alapján méretezett sávszűrő L-tagok*. *Híradástechnika, XV. évf.* 10. sz. 1964. okt. 296—305. old.
- [21] Tarlacz L.: *Sávszűrők tervezése*. *Híradástechnika, XVI. évf.* 6. sz. 1965. jún. 174—185. old.
- [22] Trán T.: *Általános hálózatanalízis az állapotváltozók segítségével*. *Híradástechnika XX. évf.* 1. sz. 1969. jan. 8—20. old.